

ИССЛЕДОВАНИЕ ПЕРЕНОСА ИСПАРЕННЫХ АТОМОВ В РАЗРЯДНОЙ КОЛБЕ ДУГОВОЙ РТУТНОЙ ЛАМПЫ

Г.Г. Бондаренко^{1,2}, В.И. Кристья³, В.В. Прасицкий⁴, А.В.Тай⁴, М.Р. Фишер³

¹ Научно-исследовательский институт перспективных материалов и технологий
Московского государственного института электроники и математики (технического
университета); ² Московский государственный институт электроники и математики
(технический университет); ³ Калужский филиал МГТУ им.Н.Э.Баумана; ⁴ ООО
«Эколюм-Восход»

E-mail: bondarenko_gg@rambler.ru

Долговечность дуговых осветительных ламп существенно зависит от стабильности эмиссионных свойств их электродов [1-4]. В настоящее время в таких лампах применяются электроды, состоящие из вольфрамового керна, на который напрессована в виде цилиндра спеченная масса из смеси порошков вольфрама и эмиссионного вещества, содержащего оксиды щелочноземельных металлов [4]. В процессе работы лампы разряд горит на торец керна и спеченная масса нагревается до температуры порядка 1500 К, при которой происходит испарение атомов эмиссионного вещества с поверхности спеченной массы и их перенос в объеме разрядной колбы. Часть из них осаждается на торце керна электрода, что снижает работу выхода его поверхности и приводит к уменьшению рабочей температуры. Напыление же эмиссионного вещества на стенку разрядной колбы ухудшает её прозрачность.

В данной работе рассчитана плотность потоков эмиссионного вещества, осаждающегося на поверхности электродов и стенке колбы, а также исследована их зависимость от давления газа.

Испаряемые с поверхности спеченной массы атомы эмиссионного вещества имеют энергию порядка средней тепловой энергии атомов газа, поэтому их движение в разрядном объеме происходит в диффузионном режиме. Концентрация N таких атомов описывается двумерным нестационарным уравнением диффузии, которое в цилиндрической системе координат имеет вид

$$\frac{\partial N}{\partial t} = \frac{1}{r} \frac{\partial}{\partial r} \left(D \frac{\partial N}{\partial r} \right) + \frac{\partial}{\partial z} \left(D \frac{\partial N}{\partial z} \right), \quad (1)$$

где $D = D(T)$ – коэффициент диффузии испаренных атомов в газе, зависящий от его температуры.

В силу симметрии колбы граничные условия на оси $r = 0$ и в плоскости $z = 0$ (рис. 1) имеют вид

$$\frac{\partial N}{\partial r}(0, z) = 0, \quad (2)$$

$$\frac{\partial N}{\partial z}(r, 0) = 0. \quad (3)$$

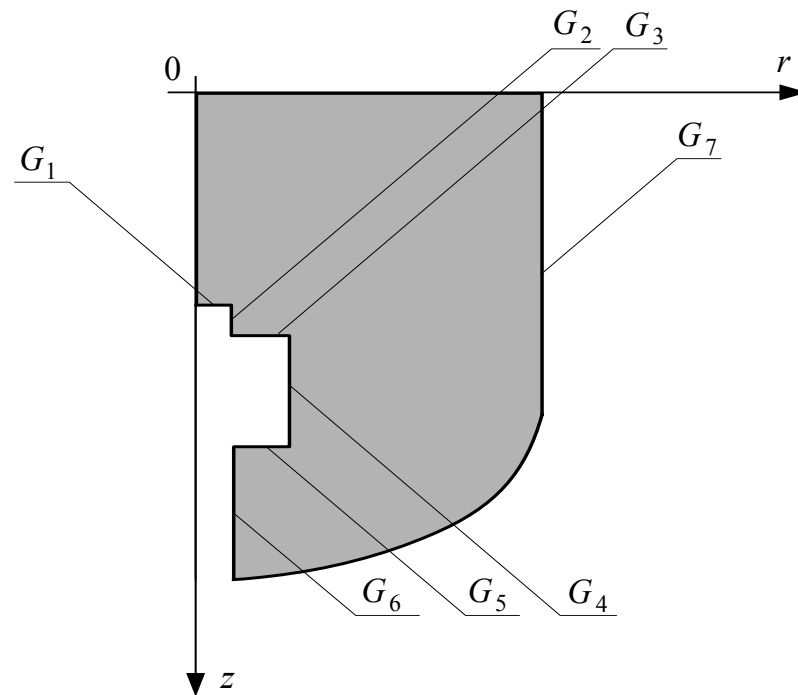


Рис. 1. Расчетная область

Поскольку коэффициент конденсации испаренных атомов на твердых поверхностях близок к единице [5], на участках границы G_1 , G_2 , G_6 и G_7 , т.е. на поверхностях вольфрамового стержня и стенке колбы, можно записать условие:

$$N(r_b, z_b) = 0, \quad (4)$$

где r_b , z_b – координаты точек соответствующего участка границы.

На участках G_3 , G_4 и G_5 , т.е. на поверхности спеченной массы, где происходит одновременное испарение и пересаживание эмиссионного вещества, граничное условие имеет вид [6]:

$$N(r_b, z_b) \frac{\bar{v}}{2} - D \frac{\partial N(r_b, z_b)}{\partial n} = 2v_e, \quad (5)$$

где $\bar{v} = \sqrt{8kT_b/\pi m}$ – средняя скорость испаренных атомов, T_b – температура поверхности спеченной массы, v_e – скорость испарения эмиссионного вещества, m – масса его атома, n – нормаль к поверхности.

Соотношения (1)–(5) определяют краевую задачу для уравнения параболического типа с граничными условиями первого, второго и третьего рода.

Для нахождения ее численного решения введем сетку в цилиндрической системе координат с шагами в направлении осей r и z , равными соответственно h_r и h_z , и зададим сеточные значения функций $N_{ij} = N(ih_r, jh_z)$, где $i = \overline{1, L_j}$, $j = \overline{1, M_i}$, причем, ввиду сложной формы расчетной области, $L_j = L(j)$, $M_i = M(i)$. На сетке запишем неявную

конечно-разностную схему для уравнения (1), используя метод переменных направлений [7], что дает

$$\frac{N_{ij}^{k+1/2} - N_{ij}^k}{\Delta t/2} = \Lambda_2 N_{ij}^{k+1/2} + \Lambda_1 N_{ij}^k, \quad (6)$$

$$\frac{N_{ij}^{k+1} - N_{ij}^{k+1/2}}{\Delta t/2} = \Lambda_2 N_{ij}^{k+1/2} + \Lambda_1 N_{ij}^{k+1}, \quad (7)$$

где разностные операторы $\Lambda_2 N_{ij}$, $\Lambda_1 N_{ij}$ определяются выражениями:

$$\begin{aligned} \Lambda_2 N_{ij} &= \frac{1}{h_z} \left(\frac{a_{i,j+1}}{h_z^*} N_{i,j+1} - \left(\frac{a_{i,j+1}}{h_z^*} + \frac{a_{ij}}{h_z} \right) N_{ij} + \frac{a_{ij}}{h_z} N_{i,j-1} \right), \\ \Lambda_1 N_{ij} &= \frac{1}{r_i} \frac{1}{h_r} \left(\frac{\bar{r}_{i+1} b_{i+1,j}}{h_r^*} N_{i+1,j} - \left(\frac{\bar{r}_{i+1} b_{i+1,j}}{h_r^*} + \frac{\bar{r}_j b_{ij}}{h_r} \right) N_{ij} + \frac{\bar{r}_i b_{ij}}{h_r} N_{i-1,j} \right), \\ a_{ij}(z_j) &= (D_{i,j-1} + D_{ij})/2, \quad b_{ij}(r_i) = (D_{i-1,j} + D_{ij})/2, \\ \bar{r}_i &= r_i - \frac{h_r}{2}, \quad \bar{r}_{i+1} = r_{i+1} - \frac{h_r^*}{2}. \end{aligned}$$

При этом участки границы $G_1 - G_6$ определяются следующим образом:

$$\begin{aligned} G_1: & 0 \leq i \leq l_1, \quad j = m_1; \quad G_2: \quad i = l_1, \quad m_1 \leq j \leq m_2; \quad G_3: \quad l_1 \leq i \leq l_2, \quad j = m_2; \\ G_4: & i = l_2, \quad m_2 \leq j \leq m_3; \quad G_5: \quad l_1 \leq i \leq l_2, \quad j = m_3; \quad G_6: \quad i = l_1, \quad m_3 \leq j \leq M_i. \end{aligned} \quad (8)$$

Выражение (6) можно преобразовать к виду

$$p_j N_{i,j-1}^{k+1/2} - q_j N_{ij}^{k+1/2} + s_j N_{i,j+1}^{k+1/2} = -f_j, \quad (9)$$

где

$$\begin{aligned} p_j &= \frac{a_{ij}}{h_z}, \quad q_j = \frac{a_{i,j+1}}{h_z^*} + \frac{a_{ij}}{h_z} + \frac{2h_z}{\Delta t}, \quad s_j = \frac{a_{i,j+1}}{h_z^*}, \\ f_j &= \frac{2h_z}{\Delta t} \left(N_{ij}^k + \frac{\Delta t}{2} \Lambda_1 N_{ij}^k \right). \end{aligned}$$

Аналогично, из выражения (7) следует

$$p_i N_{i-1,j}^{k+1} - q_i N_{ij}^{k+1} + s_i N_{i+1,j}^{k+1} = -f_i, \quad (10)$$

где

$$\begin{aligned} p_i &= \frac{\bar{r}_i b_{ij}}{r_i h_r}, \quad q_i = \frac{\bar{r}_{i+1} b_{i+1,j}}{r_i h_r^*} + \frac{\bar{r}_i b_{ij}}{r_i h_r} + \frac{2h_r}{\Delta t}, \quad s_i = \frac{\bar{r}_{i+1} b_{i+1,j}}{r_i h_r^*}, \\ f_i &= \frac{2h_r}{\Delta t} \left(N_{ij}^{k+1/2} + \frac{\Delta t}{2} \Lambda_2 N_{ij}^{k+1/2} \right). \end{aligned}$$

Разностная аппроксимация граничного условия (2) может быть записана в виде [7]:

$$\frac{b_{1,j}}{h_r/4} \frac{N_{1,j}^{k+1} - N_{0,j}^{k+1}}{h_r} = \frac{N_{0,j}^{k+1} - N_{0,j}^{k+1/2}}{\Delta t/2} - \Lambda_2 N_{0,j}^{k+1/2} \quad (11)$$

или

$$N_{0,j}^{k+1} = \alpha_1 N_{1,j}^{k+1} + \beta_1, \quad (12)$$

где

$$\alpha_1 = \frac{2b_{1,j}\Delta t}{2b_{1,j}\Delta t + h_r^2}, \quad \beta_1 = \frac{h_r^2 N_{0,j}^{k+1/2} + \frac{h_r^2 \Delta t}{2} \Lambda_2 N_{0,j}^{k+1/2}}{2b_{1,j}\Delta t + h_r^2},$$

а граничного условия (3) в виде [7]:

$$\frac{a_{i,1}}{h_z/2} \frac{N_{i,1}^{k+1/2} - N_{i,0}^{k+1/2}}{h_z} = \frac{N_{i,0}^{k+1/2} - N_{i,0}^k}{\Delta t/2} - \Lambda_1 N_{i,0}^k \quad (13)$$

или

$$N_{i,0}^{k+1/2} = \alpha_2 N_{i,1}^{k+1/2} + \beta_2, \quad (14)$$

где

$$\alpha_2 = \frac{a_{i,1}\Delta t}{a_{i,1}\Delta t + h_z^2}, \quad \beta_2 = \frac{h_z^2 N_{i,0}^k + \frac{h_z^2 \Delta t}{2} \Lambda_1 N_{i,0}^k}{a_{i,1}\Delta t + h_z^2}.$$

Аналогично, разностная аппроксимация граничного условия (5) для участка G_3 может быть представлена в форме

$$-\frac{a_{i,m_2}}{h_z/2} \frac{N_{i,m_2}^{k+1/2} - N_{i,m_2-1}^{k+1/2}}{h_z} = \frac{N_{i,m_2}^{k+1/2} - N_{i,m_2}^k}{\Delta t/2} - \Lambda_1 N_{i,m_2}^k + \left(\frac{\bar{v}}{2} N_{i,m_2}^{k+1/2} - 2v_e \right) \frac{1}{h_z/2} \quad (15)$$

или

$$N_{i,m_2}^{k+1/2} = \alpha_3 N_{i,m_2-1}^{k+1/2} + \beta_3, \quad (16)$$

где

$$\alpha_3 = \frac{a_{i,m_2}}{a_{i,m_2} + \frac{h_z^2}{\Delta t} + \frac{h_z \bar{v}}{2}}, \quad \beta_3 = \frac{\frac{h_z^2}{\Delta t} N_{i,m_2}^k + \frac{h_z^2}{2} \Lambda_1 N_{i,m_2}^k + 2h_z v_e}{a_{i,m_2} + \frac{h_z^2}{\Delta t} + \frac{h_z \bar{v}}{2}}.$$

Для граничного участка G_4 разностная аппроксимация граничного условия (5) имеет вид

$$\frac{\bar{r}_{l_2+1}}{r_{l_2+1}} \frac{b_{l_2+1,j}}{h_r/2} \frac{N_{l_2+1,j}^{k+1} - N_{l_2,j}^{k+1}}{h_r} = \frac{N_{l_2,j}^{k+1} - N_{l_2,j}^{k+1/2}}{\Delta t/2} - \Lambda_2 N_{l_2,j}^{k+1/2} + \left(\frac{\bar{v}}{2} N_{l_2,j}^{k+1} - 2v_e \right) \frac{1}{h_r/4} \quad (17)$$

или

$$N_{l_2,j}^{k+1} = \alpha_4 N_{l_2+1,j}^{k+1} + \beta_4, \quad (18)$$

где

$$\alpha_4 = \frac{\frac{\bar{r}_{l_2+1}}{r_{l_2+1}} b_{l_2+1,j}}{\frac{\bar{r}_{l_2+1}}{r_{l_2+1}} b_{l_2+1,j} + \frac{h_r^2}{\Delta t} + \frac{h_r \bar{v}}{2}}, \quad \beta_4 = \frac{\frac{h_r^2}{\Delta t} N_{l_2,j}^{k+1/2} + \frac{h_r^2}{2} \Lambda_2 N_{l_2,j}^{k+1/2} + 2h_r v_e}{\frac{\bar{r}_{l_2+1}}{r_{l_2+1}} b_{l_2+1,j} + \frac{h_r^2}{\Delta t} + \frac{h_r \bar{v}}{2}}.$$

Для участка G_5 разностная аппроксимация граничного условия (5) задается выражением

$$\frac{a_{i,m_3+1}}{h_z/2} \frac{N_{i,m_3+1}^{k+1/2} - N_{i,m_3}^{k+1/2}}{h_z} = \frac{N_{i,m_3}^{k+1/2} - N_{i,m_3}^k}{\Delta t/2} - \Lambda_1 N_{i,m_3}^k + \left(\frac{\bar{v}}{2} N_{i,m_3}^{k+1/2} - 2v_e \right) \frac{1}{h_z/2} \quad (19)$$

или

$$N_{i,m_3}^{k+1/2} = \alpha_5 N_{i,m_3+1}^{k+1/2} + \beta_5, \quad (20)$$

где

$$\alpha_5 = \frac{a_{i,m_3+1}}{a_{i,m_3+1} + \frac{h_z^2}{\Delta t} + \frac{h_z \bar{v}}{2}}, \quad \beta_5 = \frac{\frac{h_z^2}{\Delta t} N_{i,m_3}^k + \frac{h_z^2}{2} \Lambda_1 N_{i,m_3}^k + 2h_z v_e}{a_{i,m_3+1} + \frac{h_z^2}{\Delta t} + \frac{h_z \bar{v}}{2}}.$$

Таким образом, для полушага $(k+1/2)$ получается система конечно-разностных уравнений для величин $N_{ij}^{k+1/2}$, которая может быть решена методом трехточечной прогонки [7] в направлении оси z . Для полушага $(k+1)$ аналогично находится система конечно-разностных уравнений для величин N_{ij}^{k+1} , которая также может быть решена методом трехточечной прогонки в направлении оси r .

Соотношения (21) и (22) используются последовательно на каждом шаге по времени Δt до достижения установившегося распределения концентрации испаренных атомов во всех узлах сетки.

После этого с использованием разностных аппроксимаций выражения

$$J = -D \frac{\partial N}{\partial n} \quad (21)$$

вычисляются плотности потоков эмиссионного вещества на участки границы разрядного объема. В частности, для торца керн электрода, т.е. для участка G_1 , (21) принимает вид

$$J(i) = -a_{i,m_1} \frac{N_{i,m_1} - N_{i,m_1-1}}{h_z}, \quad 0 \leq i \leq l_1. \quad (22)$$

Вычисления проводились для геометрии и разрядных условий, соответствующих лампе ДРЛ-400 [3]: диаметр колбы – 20,6 мм, её длина – 96 мм, наполнение колбы – аргон (при $T = 300$ К его давление $P = 2660$ Па) и 50 мг ртути, шаги сетки выбирались равными $\Delta r = 1 \cdot 10^{-4}$ м, $\Delta z = 2,5 \cdot 10^{-4}$ м.

Полученная относительная разность полных потоков эмиссионного вещества, испаряемого с электрода и осаждающегося на поверхностях, ограничивающих разрядный объем, в проведенных расчетах не превосходит 5%, что подтверждает приемлемую точность использованного метода решения краевой задачи (1)–(5).

Найденные распределения плотности потока испаренных со спеченной массы атомов эмиссионного вещества вдоль стенки разрядной колбы и торца керн электрода на этапе зажигания лампы и в установившемся режиме представлены на рис. 2 и 3 соответственно.

При расчете значений величин $D(T)$, $\bar{v}(T)$ и $v_e(T)$ использованы распределения температуры в колбе лампы, найденные методом, описанным в [8], причем в установившемся режиме использовалось экспериментально найденное распределение температуры вдоль стенки разрядной колбы, а для этапа зажигания она принималась равной 293 К.

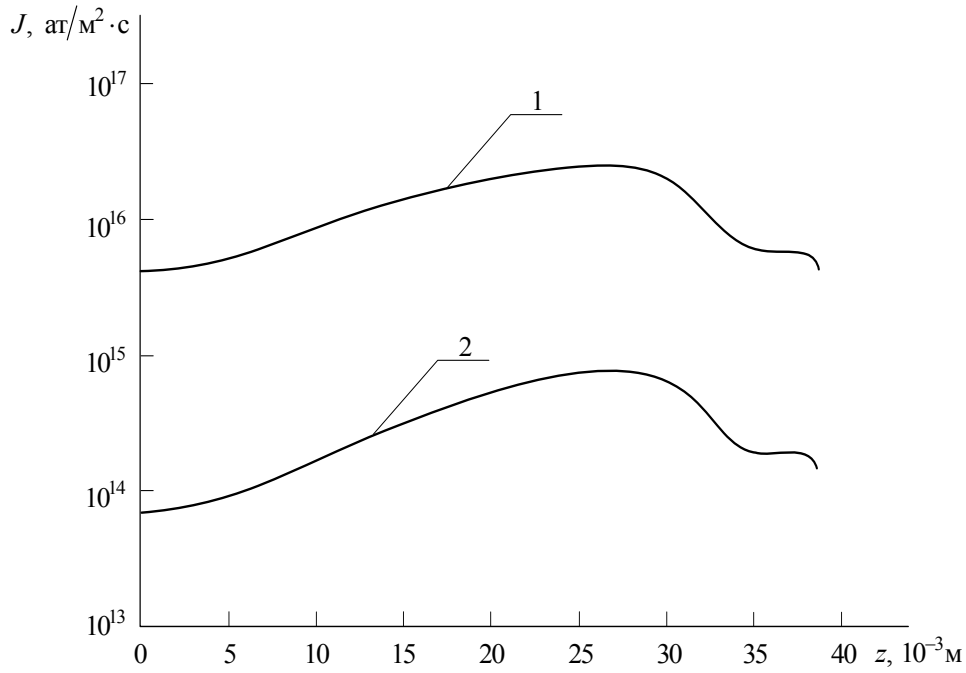


Рис. 2. Распределение плотности потока эмиссионного вещества вдоль стенки разрядной колбы лампы: 1 – на этапе зажигания; 2 – в установившемся режиме

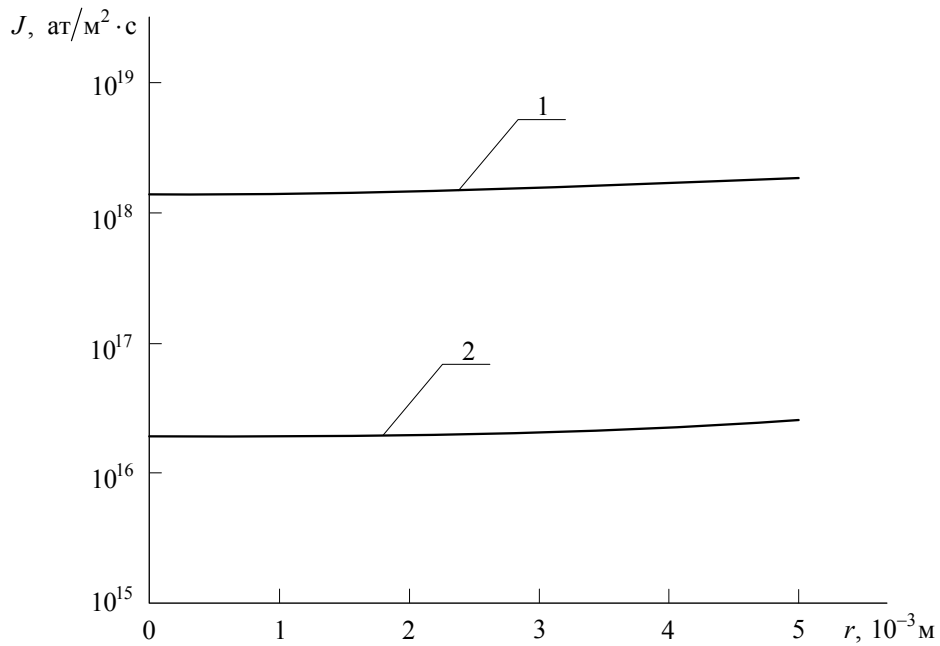


Рис. 3. Распределение плотности потока эмиссионного вещества вдоль торца керн электрода: 1 – на этапе зажигания; 2 – в установившемся режиме

Из рис. 2 и 3 следует, что на этапе зажигания лампы, когда давление газа в разрядном объеме составляет 2660 Па, плотность потока испаренных атомов на стенку колбы в 50 раз, а на торец керн электрода в 100 раз

больше, чем в установившемся режиме при давлении порядка атмосферного, когда более 90% испаряющихся атомов возвращаются на поверхность спеченной массы. Следовательно, основная масса эмиссионного вещества покидает электрод на этапе разогрева лампы.

1. Д. Уэймаус. Газоразрядные лампы. М.: Энергия, 1977. 344 с.
2. С. П. Решенов. Катодные процессы в дуговых источниках излучения. М.: МЭИ, 1991. 252 с.
3. Г. Н. Рохлин. Газоразрядные источники света. М.: Энергоатомиздат, 1991. 720 с.
4. G.G. Bondarenko, M.R. Fisher, V.I. Kristya, V.V. Prassitski. Electrode material transport and re-deposition in high-intensity arc discharge lamps // *Vacuum*. 2004. V. 73, № 2. P. 155–159.
5. А. Г. Жиглинский, В. В. Кучинский, Е. Г. Шейкин. Перенос распыленных атомов в газоразрядной плазме // *ЖТФ*. 1986. Т. 56, № 9. С. 1718–1723.
6. M.S. Benilov, S. Jacobsson, A. Kaddani, S. Zahrai. Vaporization of a solid surface in an ambient gas // *J. Phys. D: Appl. Phys.* 2001. V. 34, № 13. P. 1993–1999.
7. А. А. Самарский. Теория разностных схем. М.: Наука, 1977. 600 с.
8. Г. Г. Бондаренко, В. И. Кристя, В. В. Прасицкий, М. Р. Фишер. Моделирование теплового баланса электродов в осветительных лампах дугового разряда переменного тока. // *Наукоемкие технологии*. 2002. N 5. С. 30–34.